

516.215  
B751



UNIVERSITY OF ILLINOIS  
LIBRARY

BOOK

~~513.22~~

516.215

CLASS

~~B75~~

VOLUME

UNIVERSITY OF  
ILLINOIS LIBRARY  
AT URBANA-CHAMPAIGN  
MATHEMATICS



576.215  
B75L

# IMAGINÄRE KEGELSCHNITTE.

EINE GEOMETRISCHE STUDIE

ÜBER DAS

WESEN UND DIE KATOPTRISCHE DEUTUNG

DES

IMAGINÄREN

VON

ADALBERT BREUER,

k. k. Professor an der Staatsrealschule im III. Bezirke Wiens.

(Mit einer Figurentafel.)

UNIVERSITY OF  
ILLINOIS LIBRARY  
AT URBANA-CHAMPAIGN  
MATHEMATICS



ERFURT 1892.

VERLAG VON BODO BACMEISTER.

LIBRARY  
UNIVERSITY OF ILLINOIS  
STORRE

In Fig. 1 seien  $AB$  und  $CD$  zwei conjugierte Durchmesser einer Ellipse und  $MN$  eine zu  $CD$  parallele Sehne vom Centrum  $X$ . Vervollständigt man das Sehnenviereck  $AMBN$ , so bilden die Diagonalepunkte  $X$ ,  $M_1$  und  $N_1$  desselben bekanntlich ein Tripel conjugierter Pole und die Diagonalen  $XM_1$ ,  $M_1N_1$  und  $N_1X$  ein Polarendreieck.

Die Involution harmonischer Pole auf  $XX'$  vom Centrum  $X$  liefert bei  $P$  eine Involution harmonischer Polaren als Schein. Da zu  $X$  der unendlich ferne Punkt  $X'$  gehört, so ist der zu  $PX$  conjugierte Strahl, d. h. die Polare  $PX_1'$  von  $X$  zu  $XX'$  parallel. Die Involution auf  $XX'$  besitzt die reellen Deckpunkte  $M = M'$  und  $N = N'$ , und sie ist daher hyperbolisch. Dasselbe gilt von der Strahleninvolution bei  $P$ , welche die reellen Doppelstrahlen  $PM = PM'$  und  $PN = PN'$  aufweist, die zugleich Ellipsentangenten sind.

Ist  $y^2$  die Potenz der Punktinvolution, so hat man

$$XU \cdot XU' = y^2 \quad \text{und} \quad XM = -XN = y.$$

Demgemäß liegen je zwei entsprechende Punkte, wie  $U$  und  $U'$  vom Centrum  $X$  aus auf derselben Seite, und die Paare trennen sich nicht. Die in Bezug auf  $X$  symmetrischen Punkte  $M_i$  und  $M_i'$  sind deshalb imaginär; sie sind bestimmt durch

$$XM_i = -XM_i' = iy.$$

Die Achsen der Strahleninvolution um  $P$  halbieren die beiden Winkel zwischen  $PM$  und  $PN$ , und sie gehen nur dann durch  $X$  und  $X'$ , wenn  $AB$  und  $CD$  die Achsen der Ellipse sind.

Die Involution harmonischer Pole auf  $X_1X_1'$  liefert bei  $P_1$  eine Involution conjugierter Polaren als Schein, welche wie die erstere elliptisch ist; denn sowohl die Deckpunkte  $M_{i1} = M_{i1}'$  und  $N_{i1} = N_{i1}'$ , als auch die Doppelstrahlen  $P_1M_{i1} = P_1M_{i1}'$  und  $P_1N_{i1} = P_1N_{i1}'$  sind imaginär.  $X_1$  ist das Centrum der Punktinvolution, und ihm entspricht der unendlich ferne Punkt  $X_1'$ . Ist  $-y_1^2$

\*

die Involutionspotenz, so besteht in Bezug auf zwei homologe Punkte  $U_1$  und  $U_1'$  die Relation

$$X_1 U_1 \cdot X_1 U_1' = -y_1^2. \quad \text{Ferner ist } X_1 M_{i1} = -X_1 M_{i1}' = iy_1.$$

Mithin liegen die Punkte eines Paares zu beiden Seiten des Centrums  $X_1$ , und die Paare trennen sich gegenseitig. Demzufolge gibt es hier ein symmetrisches Doppelpaar  $M_1 = N_1'$  und  $N_1 = M_1'$ ; dasselbe ist bestimmt durch

$$X_1 M_1 = -X_1 M_1' = y_1.$$

Da diese äquidistanten Punkte, absolut genommen, denselben Abstand von  $X_1$  haben, wie die imaginären Doppelpunkte, so dienen sie zur Versinnlichung der letzteren. Ebenso werden die imaginären Doppelstrahlen durch die Strahlen  $P_1 M_1$  und  $P_1 M_1'$  veranschaulicht, welche jedoch von den symmetrischen Strahlen der Involution wohl zu unterscheiden sind.

Denn die Symmetrieverhältnisse eines involutorischen Büschels gehen beim Schneiden mit einer Geraden nur dann auf die entstehende Punktinvolution über, wenn die Gerade zu einer Achse der Strahleninvolution senkrecht steht. Diese Achse liefert dann das Centrum der Punktinvolution. Sonst wird das Centrum allgemein von jenem Strahle erzeugt, dessen conjugierter Strahl zur Geraden parallel ist. Die symmetrischen Punkte werden durch ein anderes Paar der Strahleninvolution herausgeschnitten, welches von dem symmetrischen Strahlenpaare verschieden ist.

Die Achsen der Strahleninvolution um  $P_1$ , welche als Rechtwinkelpaar derselben zu construieren wären, halbieren die Winkel zwischen den imaginären Deckstrahlen und daher auch jenen zwischen den symmetrischen Strahlen; sie sind daher nur dann mit  $P_1 X_1$  und  $P_1 X_1'$  identisch, wenn  $AB$  und  $CD$  die Achsen der Ellipse vorstellen.

Man bemerkt, dass die Involutionen auf  $XX'$  und  $X_1 X_1'$  gewissermaßen perspectivisch liegen. Jedoch treten hier, der Natur der Sache entsprechend, zwei Projectionscentren  $A$  und  $B$  auf. Dabei entsteht aus jedem Paare  $UU'$  das homologe  $U_1 U_1'$ , indem man den ersten Punkt aus  $A$ , den andern aber aus  $B$  projiciert. Da  $V' = U$  und  $V = U'$  ein zweites Paar repräsentirt, so erhält man durch umgekehrtes Projicieren aus  $B$  und aus  $A$  noch ein zweites Paar  $V_1 V_1'$ .

Da  $M$ ,  $B$  und  $N_1$  in einer Geraden liegen, so gehen die Polaren dieser Punkte, nämlich  $MP$ ,  $BT$  und  $M_1P_1$  durch denselben Punkt  $R = R_1$ , den Pol von  $MB$ . In gleicher Weise erkennt man, dass sich  $NP$ ,  $BT$  und  $N_1P_1$  in demselben Punkte  $S = S_1$  von  $BT$  schneiden. Ferner erblickt man in  $AB$  leicht die Involution mit den reellen Doppelpunkten  $A = A_1$  und  $B = B_1$ ; darin ist  $XX_1$  oder  $P_1P$  ein Paar.  $O = Q_1$  ist das Centrum, und ihm entspricht der unendlich ferne Punkt  $O_1 = Q$ .

Nun ist die Frage nach dem geometrischen Orte von  $M_1$  leicht zu entscheiden. Wählt man  $A$  als Centrum und  $BT$  als Achse einer Collineation, und ordnet man  $B$  sich selbst zu, so ist dieselbe bestimmt. Denn die Gegenachsen  $OO' = Q_1Q_1'$  dieser Verwandtschaft gehen dann beide durch  $O$  und parallel zu  $BT$ . Die Collineation ist eine involutorische, weil jedem Punkte der Ebene derselbe Punkt entspricht, ob nun der erstere dem einen oder dem andern Systeme angehört. So ist  $X = P_1$  und  $X_1 = P$ . Da das Centrum einer jeden Collineation sich selbst entspricht, so sind  $A = A_1$  und  $B = B_1$  die Doppelpunkte der Involution. Ihr Abstand wird durch das Paar  $XX_1$  harmonisch getrennt, und deshalb heißt die Collineation auch eine harmonische.

$M$  und  $M_1$  sind zwei collineare Punkte, und da der Ort von  $M$  eine Ellipse ist, so ist der Ort von  $M_1$  ein Kegelschnitt. Der Tangente  $MP$  entspricht die Curventangente  $M_1P_1$ , und beide treffen sich im Punkte  $R = R_1$  der Collineationsachse. Weil ferner dem Durchmesser  $CD$  der Ellipse die unendlich ferne Sehne  $C_1D_1$  des Kegelschnittes homolog ist, so kann dieser nur eine Hyperbel sein. Dem unendlich fernen Pole  $Q$  von  $CD$  entspricht das Ellipsencentrum  $Q_1$ , und durch dieses gehen die Asymptoten. Außerdem begegnen sich die letzteren mit den Tangenten  $CQ$  und  $DQ$  in den Punkten  $W = W_1$  und  $Z = Z_1$  der Collineationsachse. Damit stimmt die bekannte Construction der Asymptoten als Diagonalen eines Parallelogrammes, dessen Symmetralen (in schiefer Beziehung) conjugierte Durchmesser sind.

Die Hyperbel hat also mit der Ellipse die conjugierten Durchmesser  $AB$  und  $CD$  gemein. Geht die Ellipse in einen Kreis über, so ist  $HIZW$  ein Quadrat, und die Asymptoten sind normal zu einander. Die Hyperbel ist diesfalls gleichachsig oder gleichseitig.

Rückt das Collineationscentrum  $A$  in der Richtung  $OA$  ins Unendliche, so fällt auch  $O = Q_1$  ins Unendliche, und beide Curven degenerieren in Parabeln, die sich in  $B$  berühren. Es ist dann

$XB = BX_1$ , und die Parabeln sind in centraler Symmetrie in Bezug auf den Punkt  $B$ . Die Involution in  $AB$  ist diesfalls gleichseitig hyperbolisch.

Da  $X$  und  $X_1$  conjugierte Pole sind, so ist

$$OX \cdot OX_1 = \overline{OB^2}, \text{ oder } x \cdot x_1 = a_1^2. \quad (1)$$

Weil  $MY \parallel BO$  die Polare von  $Y'$  ist, so sind  $Y$  und  $Y'$  conjugierte Pole, und man hat daher

$$OY \cdot OY' = \overline{OC^2}, \text{ oder } y \cdot OY' = b_1^2. \quad (2)$$

Ferner folgt aus Fig. 1 die Proportion

$$OY' : XM = OX_1 : XX_1, \text{ oder } OY' : y = x_1 : x_1 - x. \quad (3)$$

Setzt man für  $x_1$  und  $OY'$  aus 1) und 2) die Werte, so resultiert

$$\frac{x^2}{a_1^2} + \frac{y^2}{b_1^2} = 1 \quad (4)$$

als analytische Gleichung der Ellipse. Da  $YM$  durch den unendlich fernen Punkt  $Q$  geht, entspricht dieser Geraden der Hyperbelradius  $Q_1M_1$ . Weil aber  $Y$  in der Gegenachse liegt, so ist  $Y_1$  unendlich fern; demnach ist  $AY \parallel Q_1M_1$ . Hieraus ergibt sich die Proportion

$$OY : X_1M_1 = AO : OX_1, \text{ oder } y : y_1 = a_1 : x_1. \quad (5)$$

Analog erhält man aus der Figur wegen  $OM \parallel AE_1$  oder aus 5) mittels 1)

$$XM : Q_1E_1 = OX : AQ_1, \text{ oder } y : y_1 = x : a_1. \quad (6)$$

Substituiert man in 4) für  $x$  den Wert aus 1) und für  $y$  den Wert aus 5), so folgt

$$\frac{x_1^2}{a_1^2} - \frac{y_1^2}{b_1^2} = 1 \quad (7)$$

als Gleichung der Hyperbel.

In Anbetracht dessen, dass man die imaginären Ellipsenpunkte  $M_{i1}$  und  $M_{i1}'$  durch die reellen Hyperbelpunkte  $M_1$  und  $M_1'$  veranschaulichen kann, und ebenso die imaginären Ellipsentangenten  $I_1M_{i1}$  und  $P_1M_{i1}'$  durch die Hyperbeltangenten  $P_1M_1$  und  $P_1M_1'$ , so zeigt uns die Hyperbel den Verlauf der imaginären Ellipsenpunkte, wenn die Secante  $X_1X_1'$  die Strecke  $AB$  nicht schneidet. Die Asymptoten der Ellipse sind imaginär. Da ihre Richtung be-

züglich der Achsen durch das Verhältniß der letzteren bestimmt ist, und, weil ähnliche Ellipsen das gleiche Achsenverhältniß besitzen, so gelangt man zu dem Satze:

Alle ähnlichen und zugleich perspectivisch liegenden Ellipsen gehen durch dieselben zwei unendlich fernen, aber imaginären Punkte der Ebene.

Für den Kreis specialisiert sich obiger Satz, weil man der unendlichen fernen Geraden der Ebene keine bestimmte Richtung beilegt, folgendermaßen:

Alle Kreise gehen durch dieselben zwei unendlich fernen, imaginären Punkte der Ebene. Die letzteren sind die Enden der imaginären Doppelstrahlender rechtwinkligen Involution harmonischer Polaren um das Centrum und heißen die Kreispunkte der Ebene.

Die Fig. 1 gestattet aber auch die umgekehrte Auffassung. Ist die Hyperbel reell, so zeigt die Ellipse den Verlauf der imaginären Hyperbelpunkte  $M_i$  und  $N_i$ , wenn die Secante  $XX'$  die Strecke  $AB$  schneidet. Die imaginären Hyperbeltangenten  $PM_i$  und  $PN_i$  werden durch die Ellipsentangenten  $PM$  und  $PN$  vertreten. Der Secante  $OO'$  entsprechen die imaginären Hyperbelpunkte  $C_i$  und  $D_i$ , welche durch  $C$  und  $D$  versinnlicht sind. Die Hyperbeltangenten durch den unendlich fernen Punkt  $Q$  werden durch  $CW$  und  $DZ$  dargestellt.

Mit diesem Ersatze gewinnt die Lehre vom Imaginären den Boden der Anschaulichkeit. Die Beziehungen imaginärer Elemente erscheinen als Ausdruck der Lagenverhältnisse der entsprechenden reellen Elemente in der collinearen Figur. Da zu jedem Diameterpaare ein imaginärer Kegelschnitt gehört, so erkennt man die unendlich große Mannigfaltigkeit des Imaginären.

Jeder Kegelschnitt erscheint als Enveloppe unzählig vieler, ihm umschriebener, imaginärer Kegelschnitte, die ihn von außen berühren und mit ihm concentrisch sind.

Die von der concaven Seite des reellen Kegelschnittes umschlossene Fläche enthält keine imaginären Punkte. Hiemit stellt jeder reelle Kegelschnitt zugleich ein ganzes Gewebe imaginärer Kegelschnitte dar, und damit erschließt sich dem geistigen Auge ein ganz neues, äußerst umfangreiches Gebiet für die Speculation an imaginären Gebilden:

Dass das bisher Gesagte nicht auf bloßen Fictionen beruht, wird sofort klar, wenn man eine Ellipse (Fig. 2) in einem Hohlspiegel  $HH'$  betrachtet, der das eine Ende  $A$  der großen Achse zum Krümmungsmittelpunkte hat und dessen Scheitel in das andere Ende  $B$  der Achse fällt. Dann ist das Ellipsencentrum  $O$  der Brennpunkt des Spiegels, und die Ellipse bildet sich zur Hälfte, nämlich von  $B$  bis  $C$  und  $D$  virtuell als halbe Hyperbel ab, während der Theil  $CAD$  die andere Hälfte der Hyperbel als Luftbild liefert. Die bekannte optische Construction erweist sich analog dem Ergebnisse der Collineation. Zugleich erkennt man die Ursache der sphärischen Abweichung, denn die Punkte  $R = R_1$  und  $S = S_1$  liegen hier in der Scheiteltangente  $BT$ , während sie sich in Wirklichkeit in der Spiegelfläche  $HH'$  befinden. Die obige Demonstration des Imaginären ist ungemein packend und sollte für Unterrichtszwecke ausgenützt werden. Würde man die Ellipse in einem Hohlspiegel betrachten, dessen Scheitel in  $C$  und dessen Centrum in  $D$  liegt, so käme die Nebenhypabel der vorigen zum Vorscheine, welche aber wegen der diesmal stark ins Gewicht fallenden sphärischen Abweichung bedeutend verzerrt erschiene.

Für die Parabel (Fig. 3) genügt ein Planspiegel, der im Scheitel  $B$  auf der Achse senkrecht steht. Analog kann man auch andere optische Erscheinungen, wie z. B. Linsenwirkungen, geometrisch auswerten.

Mit dieser neuen Auffassung des Imaginären verliert dasselbe alles Unbegreifliche, und es ist klar, dass man auf Grund von Speculationen an dem Imaginären zu Resultaten für das Reelle kommen muss. Denn das Studium eines Spiegelgebildes kann doch ganz gut auf das Original zurückbezogen werden. So lässt sich manche neue Construction auffinden, welche auf die Existenz des Imaginären gestützt, aber doch reell ausführbar ist. Um diese Behauptung zu erhärten, mögen aus Fig. 1 noch einige Schlüsse gezogen werden.

Die Involution conjugierter Polaren bei  $P_1$  besitzt ein Rechtwinkelpaar, und es kann nun die Frage aufgeworfen werden, für welche Punkte von  $AB$  dieses Achsenpaar die Hyperbel tangiert. Da  $AY' || P_1M_1$  ist, so braucht man bloß  $OY' = OA$  zu machen. Denn ist  $M_1P_1N_1$  (Fig. 4) ein rechter Winkel, so ist  $PP_1 = PM_1 = PN_1$ , oder  $x_1 - x = y_1$ . Hieraus würde der Analytiker mit Hilfe von 5), 1) und 4)  $x$  bestimmen. Aus der Fig. 4 folgt aber rascher, weil  $OY \cdot OY' = b_1^2$  und  $OY' = a_1$  ist,  $y = b_1^2 : a_1$ . Dies in 4) eingesetzt, ergibt sofort mit Rücksicht auf einen bekannten Satz

$$x^2 = a_1^2 - b_1^2 = a_h^2 - b_h^2 = \text{const.} \quad . \quad . \quad . \quad (8)$$

Hierin sind  $a_h$  und  $b_h$  die entsprechenden Halbachsen der Hyperbel. Auf Grund dieser Rechnung findet man also  $P_1$  leicht, indem man  $LL'$  tangierend an den mit  $OD$  als Radius beschriebenen Kreis und parallel zu  $AB$  zieht, mit dem über  $AB$  als Durchmesser gezeichneten Kreise in  $L'$  zum Schnitte bringt und  $L'P_1$  normal zu  $AB$  fällt.

Rein geometrisch findet man die eine Ellipsentangente durch  $Y'$ , indem man den conjugierten Punkt  $Y$  gemäß  $OY \cdot OY' = b_1^2$  construirt und die Polare von  $Y'$ , nämlich  $YK \parallel AB$  zieht. Legt man ferner  $Y'K \parallel HO$ , so befindet sich der Pol  $K'$  dieser Geraden in  $YK$  und in der Polare des unendlich fernen Punktes  $J$  von  $OH$ . Diese ist aber der zu  $OH$  conjugierte Diameter  $OI$ . Somit sind  $K$  und  $K'$  ein Paar der Involution auf  $YK$ , und man findet  $M$  als einen der beiden Doppelpunkte aus  $YM^2 = YK \cdot YK'$ . Nun ist  $Y'M$  die gesuchte Tangente.

Der Analytiker würde den Tangentenpunkt  $P$  folgendermaßen bestimmen. Setzt man  $OP = x_1 = X$  und  $OY' = Y$ , so sind  $-1 : X = u$  und  $-1 : Y = v$  die Liniencoordinaten der Tangente in  $M$ . Setzt man aus 1) und 2) die Werte in 4) ein, so folgt

$$\frac{a_1^2}{X^2} + \frac{b_1^2}{Y^2} = 1, \quad \text{oder} \quad a_1^2 u^2 + b_1^2 v^2 = 1 \quad . \quad . \quad . \quad (9)$$

als die Gleichung der Ellipse in Liniencoordinaten, aus welcher  $X$  leicht zu berechnen ist.

Der Ort von  $P_1$  ist nach 8) ein Kreis vom Centrum  $O$ , und dieser liefert in jedem Durchmesser zwei Punkte  $P_1$  und  $P_1''$  der geforderten Art. Doch ist der Radius des Ortskreises gemäß 8) nur dann reell, wenn  $a_1 > b_1$  ist. Für  $a_1 = b_1$  schrumpft der Ortskreis im Centrum  $O$  zusammen, und  $P_1M_1$  sowie  $P_1N_1$  sind dann Asymptoten der Hyperbel, welche diesfalls gleichachsig ist.

Ist  $AB$  die große Achse der Ellipse, so gibt der Ortskreis in derselben die Brennpunkte  $P_1 = F$  und  $P_1'' = G$ . Denn die Involution der Polaren um  $F$  hat dann außer den schon oft erwähnten Achsen noch das Rechtwinkelpaar  $P_1P$  und  $P_1M$ ; demzufolge sind aber alle Paare rechtwinklig, und die Involution ist circular. Die zu  $F$  gehörige Polare  $M_1N_1$  heißt eine Directrix. Das Stück in jeder Ellipsentangente vom Berührungspunkte  $M$  bis zum Schnittpunkte  $U$  mit der Directrix wird vom Focus  $F$  aus

stets unter rechtem Winkel gesehen, denn  $FM$  und  $FU$  sind conjugierte Strahlen der Rechtwinkelinvolution.

Wird  $AB$  zur kleinen Achse der Ellipse, dann sind die Brennpunkte  $F_i$  und  $G_i$  wegen  $a_h < b_h$  gemäß 8) imaginär. Dies gibt ein Beispiel für einen Winkel, welcher sowohl einen imaginären Scheitel als auch ebensolche Schenkel hat. Die Theorie der Brennpunkte unterscheidet bekanntlich noch ein drittes Paar, nämlich die Kreispunkte der Ebene. Nach dieser Theorie erscheinen die Brennpunkte als die Doppelemente jener Involutionen, welche die Rechtwinkelstrahlen aller Involutionen harmonischer Polaren in den Achsen und der mit diesen ein Tripel bildenden unendlich fernen Geraden liefern.

Der Vollständigkeit wegen sei noch bemerkt, dass Ellipse und Hyperbel gleiche Parameter aufweisen, wenn sie dieselben Achsen besitzen.

Sucht man jene Punkte  $P$  und  $P''$  von  $AB$  (Fig. 5), in welchen die Ellipsentangenten, also z. B.  $PM$  und  $PN$  auf einander senkrecht stehen, so macht man  $OE_1' = OA$  und zieht durch  $E_1'$  die Hyperbeltangente  $E_1'M_1$ . Denn ist  $MPN = 90^\circ$ , so ist  $P_1P = P_1M = P_1N$ . Nun ist aber allgemein  $MP \parallel AE_1'$ , und damit ist die Richtigkeit der Construction erwiesen. Die Analysis würde  $x_1 - x = y_1$  zum Ausgangspunkte nehmen und mittels 6), 1) und 7)  $x_1$  berechnen. Besser ist es jedoch, zu beachten, dass  $E_1$  und  $E_1'$  conjugierte Pole sind. Deshalb ist

$$OE_1 \cdot OE_1' = -\overline{OC^2} \quad \text{oder} \quad y_1 \cdot OE_1' = -b_1^2 \quad . \quad . \quad (10)$$

Da  $OE_1' = a_1$  gesetzt wurde, so findet man  $y_1 = -b_1^2 : a_1$  und hiemit aus 7) unter Bezug auf einen bekannten Satz

$$x_1^2 = a_1^2 + b_1^2 = a_e^2 + b_e^2 = \text{const.} \quad . \quad . \quad . \quad (11)$$

Darin bedeuten  $a_e$  und  $b_e$  die Halbachsen der Ellipse, welche jedoch von jenen der Hyperbel in 8) im allgemeinen verschieden sind. Diesem Resultate entsprechend, zieht man  $JJ' \parallel AB$  als Tangente des mit  $OD$  beschriebenen Kreises, errichtet  $BJ' \perp AB$  und zeichnet mit  $OJ'$  als Radius den Kreis  $PP''$ .

Von der Analysis ganz unabhängig, findet man die Tangente  $E_1'M_1$  auf nachstehende Art. Man sucht zu  $E_1'$  den conjugierten Punkt  $E_1$  gemäß 10), zieht durch diesen die Polare von  $E_1'$ , nämlich  $E_1L' \parallel AB$ . Sodann legt man  $E_1'L' \parallel IO$  und sucht den Pol  $L$  dieser Geraden. Weil die letztere durch den unendlich fernen Punkt  $K$

der Asymptote  $IO$  geht, und diese sich selbst conjugiert ist, so liegt  $L$  in  $IO$ ; außerdem befindet sich  $L$  in  $E_1L'$ . Damit ist ein Paar der Involution in  $E_1L'$  gegeben, und man construirt  $M_1$  als einen der Doppelpunkte gemäß  $\overline{E_1M_1^2} = E_1L \cdot E_1L'$ . Durch  $M_1$  geht die fragliche Tangente.

Die analytische Geometrie würde wieder die Tangentenabschnitte  $OP_1 = x = X$  und  $OE_1' = Y$  benutzen und diese mittels  $-1 : X = u$  und  $-1 : Y = v$  in Liniencoordinaten verwandeln. Durch Substitution von 1) und 10) in 7) folgt dann

$$\frac{a_1^2}{X^2} - \frac{b_1^2}{Y^2} = 1, \text{ oder } a_1^2 u^2 - b_1^2 v^2 = 1. \dots (12)$$

Aus dieser Hyperbelgleichung ist  $X$  leicht zu entnehmen. Der geometrische Ort von  $P$  ist ebenfalls ein Kreis vom Centrum  $O$ : er schneidet aus jedem Durchmesser  $AB$  zwei Punkte  $P$  und  $P''$  heraus, welche nach 11) immer reell sind.

Da  $AB$  zur reellen Achse der Hyperbel werden kann, so liefert der Ortskreis in dieser die Brennpunkte  $P = F$  und  $P'' = G$ . Fasst man die Figur in umgekehrter Art auf, so dass die Hyperbel reell ist und die Ellipse den Verlauf der imaginären Hyperbelpunkte darstellt, so kann man bezüglich der Brennpunkte dieselben Schlüsse ziehen, wie vorhin, und erkennt die Involutionen conjugierter Polaren um die Brennpunkte als rechtwinklige. Auch findet man leicht die analogen Directrixeneigenschaften. Die Brennpunkte in der imaginären Achse  $CD$  sind imaginär; denn die aus 11) folgenden reellen Brennpunkte entsprechen nämlich der Nebenhyperbel.

In Fig. 6 ist die gleichseitige Hyperbel analog dem Früheren die Collinearfigur des Kreises vom Radius  $OM = r$ . Für den imaginären Punkt  $M_{i1}$  erhält man aus dem bei  $P$  rechtwinkligen Dreiecke  $M_{i1}PO$

$$\begin{aligned} PM_{i1} = y_{i1} &= \sqrt{OM_{i1}^2 - OP^2} = \sqrt{r^2 - x_1^2} = i\sqrt{x_1^2 - r^2} \\ &= iy_1 = iPM_1. \dots (13) \end{aligned}$$

Mithin erhält man den Punkt  $M_1$  der Hyperbel, welcher dem imaginären Punkte  $M_{i1}$  entspricht, indem man von  $P$  aus den Orthogonalkreis  $MM_1$  an den gegebenen construirt. Er hat die Tangente  $PM = PM_1 = y_1$  zum Radius. Sämmtliche Orthogonalkreise bilden einen Büschel, dessen Träger die imaginären Punkte  $C_i$  und  $D_i$  sind, die auf der Nebenachse der Hyperbel liegen, welche die gemeinsame Chordale der Orthogonalkreise vorstellt. Jeder solche Kreis liefert in  $AB$  wegen  $OM^2 = r^2 = OS \cdot OS'$  ein Paar

$SS'$  jener Involution, welche die Doppelpunkte  $A$  und  $B$  hat; dabei ist  $SP = PS'$ . Der Kreis über  $AB$  bestimmt in dem Durchmesser  $M_1N_1$  jedes Orthogonalkreises die imaginären Schnittpunkte  $M_{i1}$  und  $N_{i1}$ . Durch diese Punkte gehen noch unzählig viele Kreise, deren Centren auf  $AB$  liegen und welche bloß von dem einen Orthogonalkreise  $SS'$  rechtwinklig geschnitten werden. Sie haben mit dem Kreise  $AB$  die Chordale  $M_1N_1$  gemein. Legt man durch  $S$  und  $S'$  einen Büschel von Kreisen, welcher dann die Centrale  $M_1N_1$  hat, so wird der Büschel  $M_{i1}N_{i1}$  von dem ersteren orthogonal geschnitten. Unter den Kreisen des Büschels  $M_{i1}N_{i1}$  gibt es aber auch imaginäre, und zwar liegen deren Centren innerhalb  $SS'$ . Die Radienquadrate dieser Kreise sind die Potenzen ihrer Centren in Bezug auf den Kreis  $SS'$ . So z. B. erhält man für das Centrum  $P_1$

$$P_1M_{i1} = \sqrt{P_1P^2 - PM_1^2}.$$

Da aber aus der Figur

$$y_1^2 = PM_1^2 = OP \cdot P_1P = x_1 \cdot P_1P$$

folgt, so ergibt sich

$$P_1P = \frac{y_1^2}{x_1}; \quad . \quad . \quad . \quad . \quad . \quad . \quad . \quad (14)$$

hiemit erhält man weiter

$$P_1M_{i1} = \sqrt{\frac{y_1^4}{x_1^2} - y_1^2} = \frac{y_1}{x_1} \sqrt{y_1^2 - x_1^2}.$$

Da aber

$$y_1^2 = \overline{PM_1^2} = \overline{OP^2} - \overline{OM^2} = x_1^2 - r^2$$

ist, so resultiert schließlich

$$P_1M_{i1} = i \frac{y_1}{x_1} r. \quad . \quad . \quad . \quad . \quad . \quad . \quad (15)$$

Dieses Resultat kann man auch aus dem Dreiecke  $P_1PM_{i1}$  direct erhalten.

Bezeichnet man  $\sphericalangle M_{i1}OP$  mit  $i\varphi$  und  $\sphericalangle M_{i1}P_1P$  mit  $i\psi$ , so erhält man analog der reellen Trigonometrie, da  $OM_{i1} = r$  ist, mit Rücksicht auf 13), 14) und 15) unter Beachtung der Figur

$$\sin i\varphi = \frac{PM_{i1}}{OM_{i1}} = i \frac{y_1}{r} = i \operatorname{tg} \alpha, \quad . \quad . \quad . \quad . \quad (16)$$

$$\cos i \varphi = \frac{OP}{OM_{i1}} = \frac{x_1}{r} = \sec \alpha, \quad . \quad . \quad . \quad (17)$$

$$\operatorname{tg} i \varphi = \frac{\sin i \varphi}{\cos i \varphi} = i \frac{y_1}{x_1} = i \sin \alpha, \quad . \quad . \quad . \quad (18)$$

$$\sin i \psi = \frac{PM_{i1}}{P_1M_{i1}} = \frac{x_1}{r} = \sec \alpha, \quad . \quad . \quad . \quad (19)$$

$$\cos i \psi = \frac{P_1P}{P_1M_{i1}} = -i \frac{y_1}{r} = -i \operatorname{tg} \alpha, \quad . \quad . \quad . \quad (20)$$

$$\operatorname{tg} i \psi = \frac{\sin i \psi}{\cos i \psi} = i \frac{x_1}{y_1} = i \operatorname{cosec} \alpha. \quad . \quad . \quad . \quad (21)$$

Analog bildet man leicht die Ausdrücke für die Nebenfunctionen Secans, Cosecans und Cotangens. Aus 16) und 17), sowie aus 19) und 20) folgt

$$\sin^2 i \varphi + \cos^2 i \varphi = 1 \quad \text{und} \quad \sin^2 i \psi + \cos^2 i \psi = 1.$$

Somit gelten diese und auch die übrigen Grundformeln der Goniometrie auch für imaginäre Winkel. Für  $r=1$  hat man, da  $P_1M = y = \sin \alpha$  ist,

$$\sin i \varphi = iy_1 = iPM_1, \quad . \quad . \quad . \quad . \quad (16')$$

$$\cos i \varphi = x_1 = OP, \quad . \quad . \quad . \quad . \quad (17')$$

$$\operatorname{tg} i \varphi = iy = iBT. \quad . \quad . \quad . \quad . \quad (18')$$

Denn aus der Collineation folgt, dass  $MT \parallel OP$  und  $M_1T'$  entsprechende Gerade sind und sich in der Collineationsachse  $BT'$  schneiden müssen. Damit sind reelle Maße für die Functionen imaginärer Winkel gewonnen. Da

$$BT = \operatorname{tg} \varphi$$

ist, so erkennt man aus 18') das Gesetz

$$\operatorname{tg} i \varphi = i \operatorname{tg} \varphi, \quad . \quad . \quad . \quad . \quad (22)$$

welches für die Praxis der Goniometrie imaginärer Winkel von fundamentaler Bedeutung ist. Dieses Gesetz gilt allgemein, denn aus der Figur und aus 14) findet man

$$\operatorname{tg} \psi = \frac{PM_1}{P_1P} = \frac{x_1}{y_1}$$

und erkennt daraus durch Vergleichung mit 21)

$$\operatorname{tg} i \psi = i \operatorname{tg} \psi.$$

Ferner ergeben sich für Winkel, welche kleiner als  $45^\circ$  sind, ohne-  
weilers die Relationen

$$\sin(-i\varphi) = -\sin i\varphi, \quad (23)$$

$$\cos(-i\varphi) = \cos i\varphi. \quad (24)$$

Weitere Schlüsse ergeben sich aus

$$\overline{PM^2} = PM_1^2 = OP \cdot PP_1.$$

Man erhält hieraus die Proportion

$$OP : M_1P = PM_1 : PP_1.$$

Aus dieser und aus  $\sphericalangle OPM_1 = \sphericalangle M_1PP_1 = 90^\circ$  folgt  $\sphericalangle OPM_1 \sim \sphericalangle M_1PP_1$ . Daher ist  $\sphericalangle M_1OP = \sphericalangle P_1M_1P$  oder  $\varphi = \varphi_1$ . Ferner ist  $\sphericalangle PM_1O = \sphericalangle PP_1M_1$  oder  $\psi_1 = \psi$ . Da aber  $\varphi + \psi_1 = 90^\circ$  und  $\psi + \varphi_1 = 90^\circ$  ist, so ist auch  $\varphi + \psi = 90^\circ$ . Mithin findet man aus 16), 17), 19) und 20) für  $\varphi < 45^\circ$  die Sätze:

$$\sin i(90^\circ - \varphi) = \cos i\varphi, \quad (25)$$

$$\cos i(90^\circ - \varphi) = -\sin i\varphi, \quad (26)$$

und für  $\psi > 45^\circ$

$$\sin i(90^\circ - \psi) = -\cos i\psi, \quad (27)$$

$$\cos i(90^\circ - \psi) = \sin i\psi. \quad (28)$$

Damit ist die Basis für die Goniometrie imaginärer Winkel geschaffen. Über das Weitere gibt meine Abhandlung „Die goniometrischen Functionen complexer Winkel“ Aufschluss.

Noch sei bemerkt, dass die Winkel  $OM_1P = i\psi_1$  und  $P_1M_1P = i\varphi_1$  den Scheitel und einen Schenkel imaginär haben, während der andere Schenkel reell ist. Auch über diese Winkel ließen sich aus dem Vorstehenden leicht Formeln gewinnen.

Zum Schlusse möge noch der Verlauf der symmetrischen Punkte  $M_1$  und  $M_1'$  (Fig. 7) der Involution harmonischer Pole in einer Geraden untersucht werden, wenn sich diese um den festen Punkt  $O_1$  dreht. Als Kegelschnitt diene der Einfachheit wegen der Kreis vom Centrum  $O$  und dem Halbmesser  $r$ . Die Centrale  $OO_1 = c$  ist dann der Durchmesser eines Hilfskreises, welcher den Ort des Centrums  $Q$  der Involution vorstellt. Legt man die Tangente  $QT$  an den Kreis  $O$ , so ist diese der Radius des Orthogonalkreises, welcher aus  $O_1Q$  die symmetrischen Punkte  $M_1$  und  $M_1'$  der Involution herauschneidet.  $M_1'$  fällt nach  $O_1$ , wenn  $M_1$  in der Polare

$AB$  von  $O_1$  liegt. Da  $Q$  in der Mitte von  $M_1M_1'$  sich befindet, so erhält man diesen besonderen Punkt  $Q_2$  in der durch das Centrum  $H$  des Perpendikels  $O_1P$  zu  $AB$  zur letzteren Geraden gezogenen Parallelen. Bezeichnet man  $OQ$  mit  $n$ , so ergibt sich absolut

$$QM_1 = QM_1' = QT = \sqrt{n^2 - r^2}.$$

Wählt man  $O_1X_1$  als Achse eines Polarcoordinatensystems, dann ist  $\sphericalangle X_1O_1M_1 = \varphi$  die Amplitude und  $O_1M_1 = \rho$  der Vector des laufenden Punktes  $M_1$ . Weil  $\sphericalangle O_1OQ = \varphi$  ist, so hat man

$$n = c \cos \varphi \text{ und } O_1Q = c \sin \varphi.$$

Ferner ist

$$O_1M_1 = O_1Q + QM \text{ und } O_1M_1' = O_1Q - QM_1';$$

hieraus ergibt sich die Polargleichung des geometrischen Ortes von  $M_1$ , nämlich

$$\rho = c \sin \varphi \pm \sqrt{c^2 \cos^2 \varphi - r^2}. \quad . \quad . \quad . \quad . \quad (29)$$

Auf das rechtwinklige Achsensystem  $O_1X_1Y$  bezogen, lautet die Gleichung der Curve

$$(x^2 + y^2)^2 + (r^2 - 2cy)(x^2 + y^2) - c^2(x^2 - y^2) = 0. \quad (30)$$

Die Curve ist also vom vierten Grade und könnte passend Polcurve genannt werden. Sie besitzt den Pol  $O_1$  als Doppelpunkt und zwei Inflexionspunkte auf den Theilen  $O_1A$  und  $O_1B$ . Ferner treten entsprechend den vier Culminationen zwei Doppeltangenten auf, welche zu  $O_1X_1$  parallel laufen. Die beiden Schleifen berühren den Kreis  $O$  in  $A$  und  $B$ . An sonstigen Merkwürdigkeiten ist hervorzuheben, dass der ganze, aber imaginär genommene Kreis der Curve angehört. Außer diesem imaginären Kreise gibt es jedoch noch unzählig viele imaginäre Curven, welche die reelle umhüllen. Jeder Punkt der Ebene liefert als Träger eines Büschels von Secanten eine solche imaginäre Curve. Ersetzt man diese durch die entsprechende reelle Curve, so gewinnt man eine ganze Familie von krummen Linien. Somit kann die Lehre vom Imaginären dazu dienen, das Gebiet des Reellen äußerst mannigfach zu erweitern.

Bezieht man die Curve auf das Achsenkreuz  $XOY$ , so hat man in 30) die Substitutionen

$$y = y_1 + c \text{ und } x = x_1.$$

zu vollführen und erhält nach gehörigem Heben

$$(x_1^2 + y_1^2 + 2cy_1)(x_1^2 + y_1^2 + r^2) - c^2(x_1^2 - y_1^2 - r^2) = 0. \quad (31)$$

Rückt der Pol  $O_1$  ins Unendliche, dann ist  $c = \infty$ , und man erhält aus der letzten Gleichung

$$x_1^2 - y_1^2 - r^2 = 0. \quad . \quad . \quad . \quad . \quad . \quad . \quad (32)$$

Die Curve spaltet sich also in diesem Falle in die gleichseitige Hyperbel (Fig. 6) und in die beiden Scheiteltangenten in  $A$  und in  $B$ . Denn die Polare  $AB$  wird bei dem Grenzübergange zum Durchmesser.

Wien, am 1. Mai 1892.

**Adalbert Breuer.**

210

1

1

1

1

1

1

# Breuers „Imaginäre Kegelschnitte.“

Fig. 1.

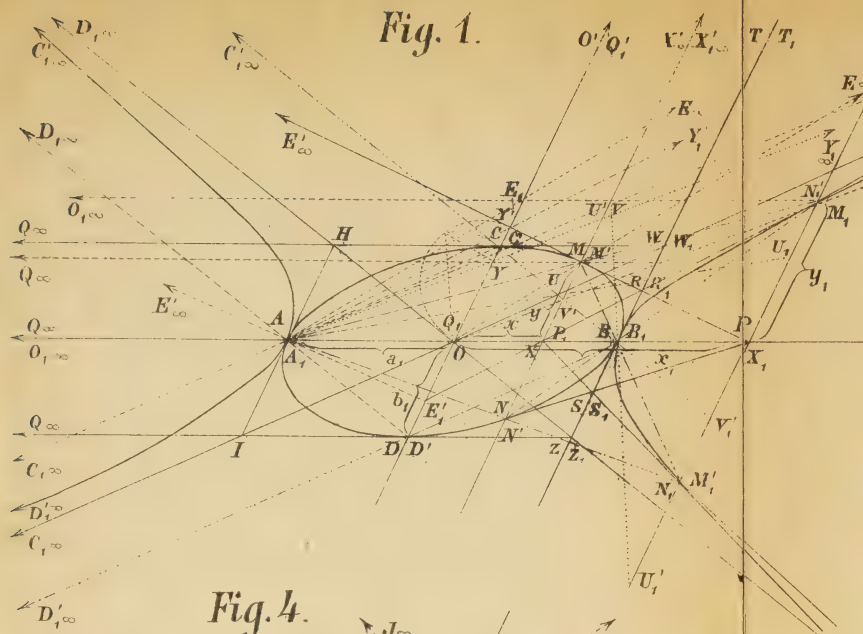


Fig. 2.

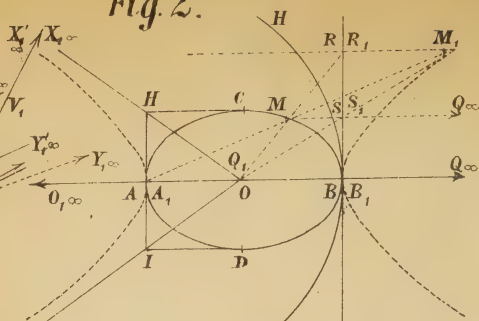


Fig. 3.

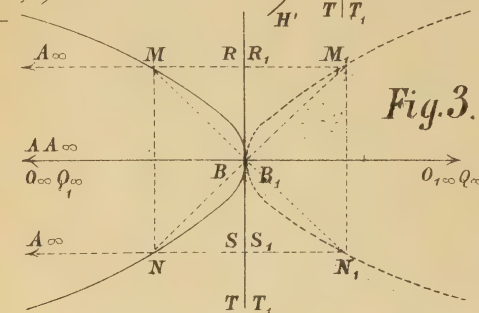


Fig. 4.

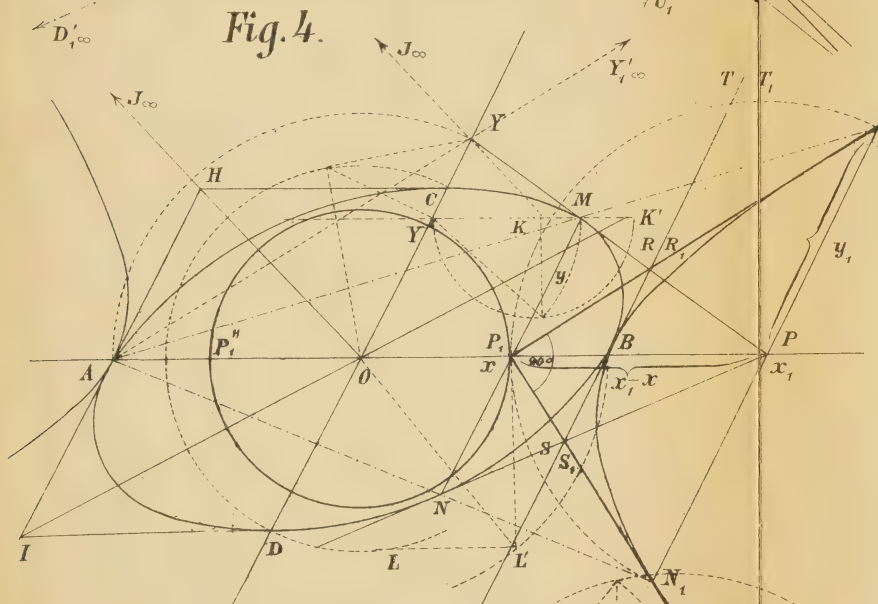


Fig. 6.

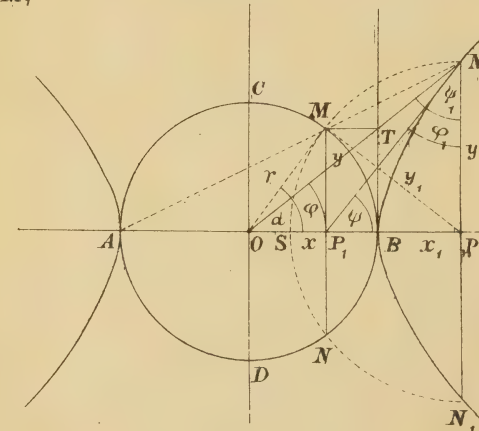


Fig. 5.

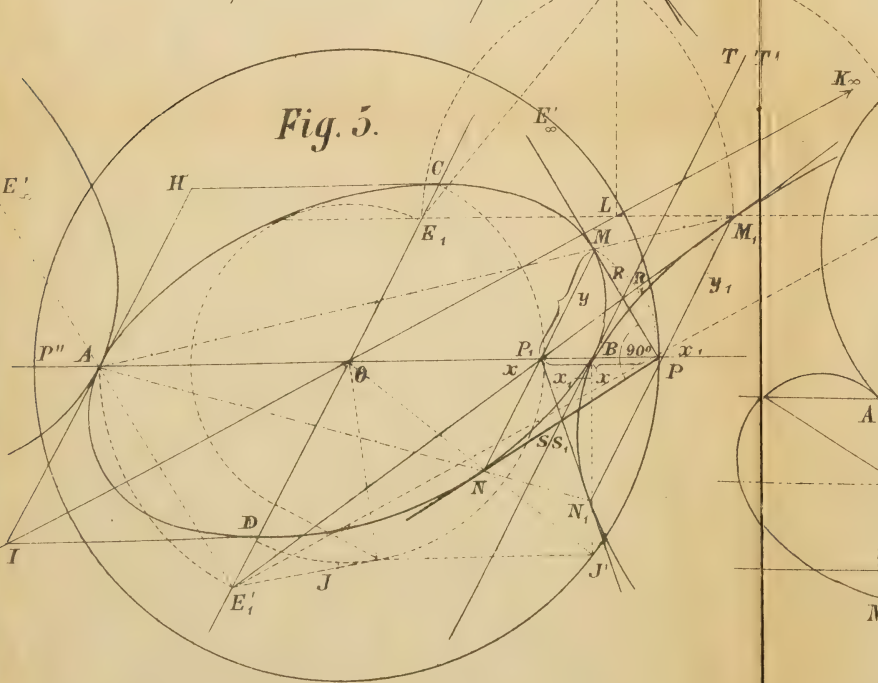
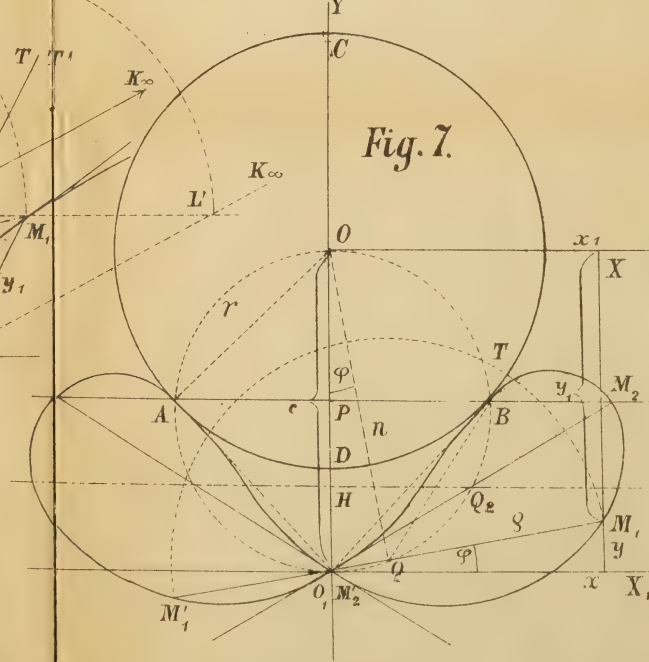


Fig. 7.









UNIVERSITY OF ILLINOIS-URBANA

516.2158751

C001

IMAGINARE KEGELSCHNITTE ERFURT



3 0112 017249290